

Starkniederschlagshöhen und -spenden gemäß KOSTRA-DWD-2020

Rasterfeld 197163

(Zeile 197, Spalte 163)

Regenspende und Bemessungsniederschlagswerte in Abhängigkeit von Wiederkehrzeit T und Dauerstufe D

| Dauerstufe D | | Wiederkehrzeit T | | | | | | | | | | | | | | | | | |
|--------------|-----|------------------|------------|------|------------|------|------------|-------|------------|-------|------------|-------|------------|-------|------------|-------|------------|-------|------------|
| | | 1 a | | 2 a | | 3 a | | 5 a | | 10 a | | 20 a | | 30 a | | 50 a | | 100 a | |
| min | Std | mm | l / (s ha) | mm | l / (s ha) | mm | l / (s ha) | mm | l / (s ha) | mm | l / (s ha) | mm | l / (s ha) | mm | l / (s ha) | mm | l / (s ha) | mm | l / (s ha) |
| 5 | | 7,8 | 260,0 | 9,4 | 313,3 | 10,4 | 346,7 | 11,8 | 393,3 | 13,7 | 456,7 | 15,6 | 520,0 | 16,9 | 563,3 | 18,6 | 620,0 | 21,1 | 703,3 |
| 10 | | 10,2 | 170,0 | 12,4 | 206,7 | 13,7 | 228,3 | 15,4 | 256,7 | 18,0 | 300,0 | 20,6 | 343,3 | 22,3 | 371,7 | 24,5 | 408,3 | 27,7 | 461,7 |
| 15 | | 11,8 | 131,1 | 14,2 | 157,8 | 15,8 | 175,6 | 17,8 | 197,8 | 20,7 | 230,0 | 23,6 | 262,2 | 25,6 | 284,4 | 28,2 | 313,3 | 31,8 | 353,3 |
| 20 | | 12,9 | 107,5 | 15,6 | 130,0 | 17,3 | 144,2 | 19,5 | 162,5 | 22,7 | 189,2 | 25,9 | 215,8 | 28,1 | 234,2 | 30,9 | 257,5 | 34,9 | 290,8 |
| 30 | | 14,6 | 81,1 | 17,7 | 98,3 | 19,6 | 108,9 | 22,1 | 122,8 | 25,7 | 142,8 | 29,4 | 163,3 | 31,8 | 176,7 | 35,0 | 194,4 | 39,6 | 220,0 |
| 45 | | 16,4 | 60,7 | 19,9 | 73,7 | 22,0 | 81,5 | 24,8 | 91,9 | 28,9 | 107,0 | 33,1 | 122,6 | 35,8 | 132,6 | 39,4 | 145,9 | 44,5 | 164,8 |
| 60 | 1 | 17,8 | 49,4 | 21,6 | 60,0 | 23,9 | 66,4 | 27,0 | 75,0 | 31,4 | 87,2 | 35,9 | 99,7 | 38,9 | 108,1 | 42,7 | 118,6 | 48,3 | 134,2 |
| 90 | 1,5 | 20,0 | 37,0 | 24,2 | 44,8 | 26,8 | 49,6 | 30,2 | 55,9 | 35,1 | 65,0 | 40,2 | 74,4 | 43,5 | 80,6 | 47,8 | 88,5 | 54,1 | 100,2 |
| 120 | 2 | 21,6 | 30,0 | 26,1 | 36,3 | 29,0 | 40,3 | 32,6 | 45,3 | 38,0 | 52,8 | 43,5 | 60,4 | 47,1 | 65,4 | 51,8 | 71,9 | 58,5 | 81,3 |
| 180 | 3 | 24,1 | 22,3 | 29,2 | 27,0 | 32,3 | 29,9 | 36,4 | 33,7 | 42,4 | 39,3 | 48,5 | 44,9 | 52,5 | 48,6 | 57,8 | 53,5 | 65,3 | 60,5 |
| 240 | 4 | 26,0 | 18,1 | 31,5 | 21,9 | 34,9 | 24,2 | 39,4 | 27,4 | 45,8 | 31,8 | 52,4 | 36,4 | 56,7 | 39,4 | 62,4 | 43,3 | 70,5 | 49,0 |
| 360 | 6 | 29,0 | 13,4 | 35,1 | 16,3 | 38,9 | 18,0 | 43,9 | 20,3 | 51,0 | 23,6 | 58,4 | 27,0 | 63,2 | 29,3 | 69,5 | 32,2 | 78,6 | 36,4 |
| 540 | 9 | 32,3 | 10,0 | 39,1 | 12,1 | 43,3 | 13,4 | 48,8 | 15,1 | 56,8 | 17,5 | 65,0 | 20,1 | 70,4 | 21,7 | 77,4 | 23,9 | 87,5 | 27,0 |
| 720 | 12 | 34,9 | 8,1 | 42,2 | 9,8 | 46,7 | 10,8 | 52,7 | 12,2 | 61,3 | 14,2 | 70,2 | 16,3 | 76,0 | 17,6 | 83,6 | 19,4 | 94,4 | 21,9 |
| 1080 | 18 | 38,8 | 6,0 | 47,0 | 7,3 | 52,0 | 8,0 | 58,7 | 9,1 | 68,2 | 10,5 | 78,1 | 12,1 | 84,5 | 13,0 | 93,0 | 14,4 | 105,1 | 16,2 |
| 1440 | 24 | 41,9 | 4,8 | 50,7 | 5,9 | 56,1 | 6,5 | 63,3 | 7,3 | 73,6 | 8,5 | 84,2 | 9,7 | 91,2 | 10,6 | 100,3 | 11,6 | 113,4 | 13,1 |
| 2880 | 48 | 50,3 | 2,9 | 60,8 | 3,5 | 67,4 | 3,9 | 76,0 | 4,4 | 88,3 | 5,1 | 101,1 | 5,9 | 109,5 | 6,3 | 120,4 | 7,0 | 136,1 | 7,9 |
| 4320 | 72 | 55,9 | 2,2 | 67,7 | 2,6 | 75,0 | 2,9 | 84,5 | 3,3 | 98,3 | 3,8 | 112,5 | 4,3 | 121,8 | 4,7 | 134,0 | 5,2 | 151,5 | 5,8 |
| 5760 | 96 | 60,3 | 1,7 | 73,0 | 2,1 | 80,8 | 2,3 | 91,2 | 2,6 | 106,0 | 3,1 | 121,4 | 3,5 | 131,4 | 3,8 | 144,5 | 4,2 | 163,4 | 4,7 |
| 7200 | 120 | 64,0 | 1,5 | 77,4 | 1,8 | 85,7 | 2,0 | 96,7 | 2,2 | 112,4 | 2,6 | 128,7 | 3,0 | 139,3 | 3,2 | 153,3 | 3,5 | 173,3 | 4,0 |
| 8640 | 144 | 67,1 | 1,3 | 81,2 | 1,6 | 90,0 | 1,7 | 101,4 | 2,0 | 118,0 | 2,3 | 135,0 | 2,6 | 146,2 | 2,8 | 160,8 | 3,1 | 181,8 | 3,5 |
| 10080 | 168 | 69,9 | 1,2 | 84,6 | 1,4 | 93,7 | 1,5 | 105,6 | 1,7 | 122,8 | 2,0 | 140,6 | 2,3 | 152,2 | 2,5 | 167,5 | 2,8 | 189,3 | 3,1 |

Starkniederschlagshöhen und -spenden gemäß KOSTRA-DWD-2020

Rasterfeld 197163

(Zeile 197, Spalte 163)

Örtliche Unsicherheiten in Abhängigkeit von Wiederkehrzeit T und Dauerstufe D

| Dauerstufe D | | Wiederkehrzeit T | | | | | | | | |
|--------------|-----|------------------|-----|-----|-----|------|------|------|------|-------|
| | | 1 a | 2 a | 3 a | 5 a | 10 a | 20 a | 30 a | 50 a | 100 a |
| min | Std | ± % | ± % | ± % | ± % | ± % | ± % | ± % | ± % | ± % |
| 5 | | 15 | 16 | 16 | 17 | 17 | 18 | 18 | 18 | 19 |
| 10 | | 19 | 20 | 21 | 21 | 22 | 23 | 23 | 23 | 24 |
| 15 | | 21 | 22 | 23 | 23 | 24 | 25 | 25 | 25 | 26 |
| 20 | | 22 | 23 | 24 | 24 | 25 | 26 | 26 | 26 | 27 |
| 30 | | 22 | 24 | 24 | 25 | 26 | 26 | 27 | 27 | 27 |
| 45 | | 22 | 24 | 24 | 25 | 26 | 26 | 27 | 27 | 28 |
| 60 | 1 | 22 | 23 | 24 | 25 | 25 | 26 | 26 | 27 | 27 |
| 90 | 1,5 | 21 | 22 | 23 | 24 | 25 | 25 | 26 | 26 | 26 |
| 120 | 2 | 20 | 22 | 22 | 23 | 24 | 24 | 25 | 25 | 26 |
| 180 | 3 | 19 | 20 | 21 | 22 | 23 | 23 | 24 | 24 | 24 |
| 240 | 4 | 18 | 20 | 20 | 21 | 22 | 22 | 23 | 23 | 23 |
| 360 | 6 | 17 | 18 | 19 | 20 | 20 | 21 | 21 | 22 | 22 |
| 540 | 9 | 16 | 17 | 18 | 18 | 19 | 20 | 20 | 20 | 21 |
| 720 | 12 | 16 | 17 | 17 | 18 | 18 | 19 | 19 | 20 | 20 |
| 1080 | 18 | 15 | 16 | 16 | 17 | 17 | 18 | 18 | 19 | 19 |
| 1440 | 24 | 15 | 15 | 16 | 16 | 17 | 17 | 18 | 18 | 18 |
| 2880 | 48 | 15 | 15 | 15 | 16 | 16 | 17 | 17 | 17 | 17 |
| 4320 | 72 | 15 | 15 | 16 | 16 | 16 | 16 | 17 | 17 | 17 |
| 5760 | 96 | 16 | 16 | 16 | 16 | 16 | 17 | 17 | 17 | 17 |
| 7200 | 120 | 17 | 17 | 16 | 17 | 17 | 17 | 17 | 17 | 17 |
| 8640 | 144 | 17 | 17 | 17 | 17 | 17 | 17 | 17 | 17 | 18 |
| 10080 | 168 | 18 | 17 | 17 | 17 | 17 | 17 | 18 | 18 | 18 |

Parameter für abweichende T und D

Lokationsparameter ξ (Xi)

18,17856143

Skalenparameter α (Alpha)

5,31384737

Formparameter κ (Kappa)

-0,1

1. Koutsoyiannis-Parameter θ (Theta)

0,02528351

2. Koutsoyiannis-Parameter η (Eta)

0,73707126

Parameter für dauerstufenübergreifende Extremwertschätzung nach KOUTSOYIANNIS et al. 1998.

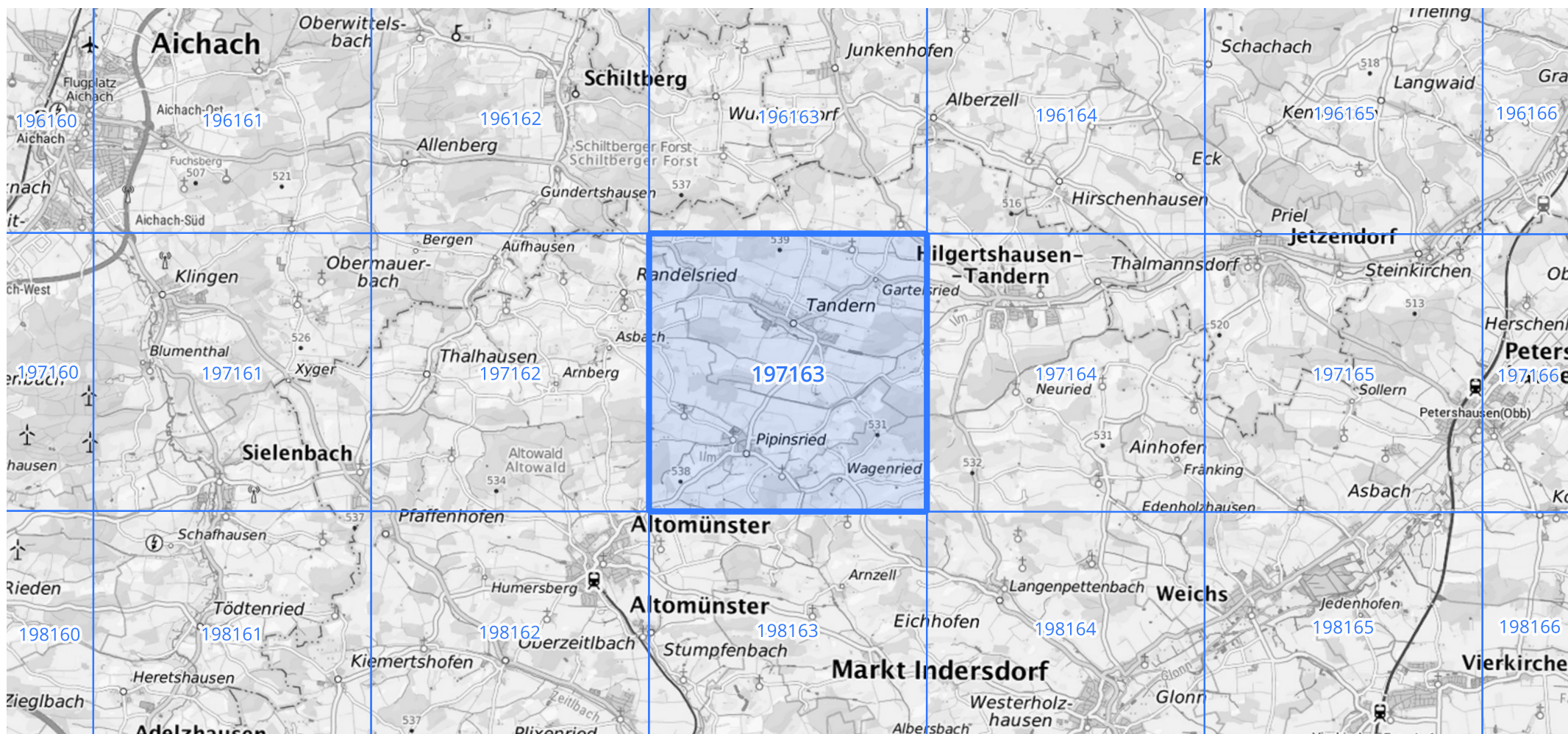
Siehe auch Anwendungshilfe zu KOSTRA-DWD-2020 des Deutschen Wetterdienstes.

Starkniederschlagshöhen und -spenden gemäß KOSTRA-DWD-2020

Rasterfeld 197163

(Zeile 197, Spalte 163)

Übersichtskarte des Rasterfeldes 197163, M 1 : 100 000



Quelle Rasterdaten: KOSTRA-DWD-2020 des Deutschen Wetterdienstes, Stand 12/2022.

Seite 3 von 3

Kartendarstellung: © Bundesamt für Kartographie und Geodäsie (2023), Datenquellen: https://sgx.geodatenzentrum.de/web_public/gdz/datenquellen/Datenquellen_TopPlusOpen.html

Für die Richtigkeit und Aktualität der Angaben wird keine Gewähr übernommen. Erstellt 01/2023.